

## TMAG5230 WCSP 封止、低消費電力、Z 軸、ホール効果スイッチ

### 1 特長

- 電源電圧範囲: 1.65V ~ 5.5V
- 周囲温度範囲: -40°C ~ 125°C
- 磁気ポール検出オプション:
  - オムニポーラ (両極性)
  - デュアルユニポーラ
- 出力タイプ:
  - プッシュプル
  - オープンドレイン
- アクティブ出力状態 ( $B > B_{OP}$  のとき): Low ( $V_{OL}$ )
- 磁気動作点 ( $B_{OP}$ ):
  - 2.4mT ~ 24mT
- 1.6μA の Low 平均消費電流
- サンプリングレート:
  - 1.25Hz ~ 2.5kHz
- 業界標準の 4 ピン DSBGA パッケージ

### 2 アプリケーション

- タブレット
- スマートフォン
- ノート PC
- イヤホン
- AR/VR メガネ
- デジタル スチル カメラ

### 3 説明

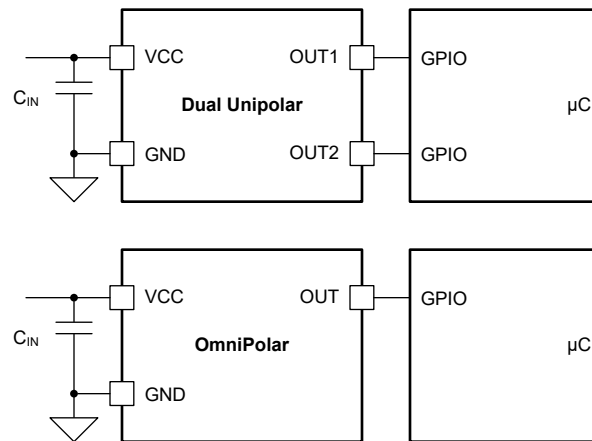
TMAG5230 は磁気位置センシング アプリケーションで使用されるホール効果スイッチです。TMAG5230 製品ファミリは、オムニポーラとユニポーラの両方の出力に対応する超小型フォームファクタの DSBGA (WCSP) パッケージで供給されます。このデバイスは、高感度スレッショルドと各種のサンプリングレートの複数の組み合わせをサポートしているため、磁石の選択、感度、電力要件に応じた柔軟なシステム設計が可能です。

このデバイスの出力タイプは、外付けプルアップ抵抗が不要なプッシュプル出力として、または TMAG5230 電源とは異なる IO 電圧を使用できるオープンドレイン出力として利用可能です。オープンドレイン出力は  $V_{CC}$  より高い電圧をサポートできるため、電源シーケンスが不要です。

#### パッケージ情報

部品番号	パッケージ (1)	パッケージ サイズ (2)
TMAG5230	YBK, YBH (DSBGA, 4)	0.74mm × 0.74mm

- 詳細については、[セクション 11](#) を参照してください。
- パッケージ サイズ (長さ × 幅) は公称値であり、該当する場合はピンも含まれます。



概略回路図



## 目次

1 特長.....	1	8 アプリケーションと実装.....	18
2 アプリケーション.....	1	8.1 アプリケーション情報.....	18
3 説明.....	1	8.2 代表的なアプリケーション.....	18
4 デバイスの比較.....	2	8.3 設計要件.....	18
5 ピン構成および機能.....	4	8.4 詳細な設計手順.....	19
6 仕様.....	5	8.5 アプリケーション曲線.....	19
6.1 絶対最大定格.....	5	8.6 電源に関する推奨事項.....	19
6.2 ESD 定格.....	5	8.7 レイアウト.....	19
6.3 推奨動作条件.....	5	9 デバイスおよびドキュメントのサポート.....	20
6.4 熱に関する情報.....	6	9.1 デバイスの命名規則.....	20
6.5 電気的特性.....	7	9.2 ドキュメントの更新通知を受け取る方法.....	20
6.6 バージョンの特性.....	7	9.3 サポート・リソース.....	20
6.7 代表的特性.....	11	9.4 商標.....	20
7 詳細説明.....	13	9.5 静電気放電に関する注意事項.....	20
7.1 概要.....	13	9.6 用語集.....	20
7.2 機能ブロック図.....	13	10 改訂履歴.....	20
7.3 機能説明.....	14	11 メカニカルおよびパッケージ情報.....	21
7.4 デバイスの機能モード.....	17	11.1 メカニカル データ.....	22

## 4 デバイスの比較

表 4-1. デバイスの比較

バージョン	B <sub>OP</sub> 標準値	B <sub>RP</sub> 標準値	磁気検出	出力タイプ	サンプリングレート	利用可能なパッケージ
D8D	2.4mT	2mT	デュアルユニポーラ	オープンドレイン、アクティブ Low	20Hz	DSBGA
D5D	2.4mT	2mT	デュアルユニポーラ	プッシュプル、アクティブ Low	20Hz	DSBGA
F1D	3.5mT	2.5mT	オムニポーラ (両極性)	プッシュプル、アクティブ Low	20Hz	DSBGA
H1D	6mT	5mT	オムニポーラ (両極性)	プッシュプル、アクティブ Low	20Hz	DSBGA
I1D	6.3mT	5.4mT	オムニポーラ (両極性)	プッシュプル、アクティブ Low	20Hz	DSBGA
I5D	6.3mT	5.4mT	デュアルユニポーラ	プッシュプル、アクティブ Low	20Hz	DSBGA
J5D	9.5mT	8.6mT	デュアルユニポーラ	プッシュプル、アクティブ Low	20Hz	DSBGA
K8D	15mT	14.1mT	デュアルユニポーラ	オープンドレイン、アクティブ Low	20Hz	DSBGA
L5D	15	13	デュアルユニポーラ	プッシュプル、アクティブ Low	20Hz	DSBGA
N5D	24	22.4	デュアルユニポーラ	プッシュプル、アクティブ Low	20Hz	DSBGA

表 4-2 TMAG5230xxx で利用可能な B<sub>OP</sub>、出力構成、サンプリング レートのオプションを示します。たとえば、TMAG5230F2E はデバイスの 3.5mT BOP、オムニポーラ、アクティブ High、オープンドレイン、40Hz バージョンです。新しいバージョンのサンプルについては、お近くの代理店にお問い合わせください。最大 20kHz の追加サンプリング レートが使用可能です。

**表 4-2. 追加のデバイス構成オプション**

B <sub>OP</sub> /B <sub>RP</sub>	出力構成	サンプリング レート
<b>D</b> = 2.4mT/2mT	<b>0</b> - オムニポーラ、アクティブ Low、オープンドレイン	<b>A</b> = 1.25Hz
<b>E</b> = 3mT/2.1mT	<b>1</b> - オムニポーラ、アクティブ Low、プッシュプル	<b>B</b> = 5Hz
<b>F</b> = 3.5mT/2.5mT	<b>2</b> - オムニポーラ、アクティブ High、オープンドレイン	<b>C</b> = 10Hz
<b>G</b> = 4.1mT/3.3mT	<b>3</b> - オムニポーラ、アクティブ High、プッシュプル	<b>D</b> = 20Hz
<b>H</b> = 6mT/5mT		<b>E</b> = 40Hz
<b>I</b> = 6.3mT/5.4mT	<b>5</b> - ユニポーラ、アクティブ Low、プッシュプル	<b>F</b> = 80Hz
<b>J</b> = 9.5mT/8.6mT	<b>6</b> - ユニポーラ、アクティブ High、オープンドレイン	
<b>K</b> = 15mT/14.1mT	<b>7</b> - ユニポーラ、アクティブ High、プッシュプル	
<b>L</b> = 15mT/13mT	<b>8</b> - ユニポーラ、アクティブ Low、オープンドレイン	
<b>M</b> = 20mT/18mT		
<b>N</b> = 24mT/22.4mT		
<b>O</b> = 30mT/27mT		
<b>P</b> = 35mT/31mT		
<b>S</b> = 18mT/17mT		

## 5 ピン構成および機能

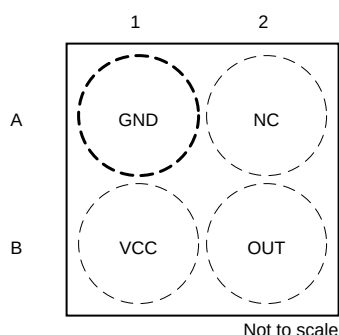


図 5-1. YBK パッケージ 4 ピン DSBGA (オムニポーラ) 上面図

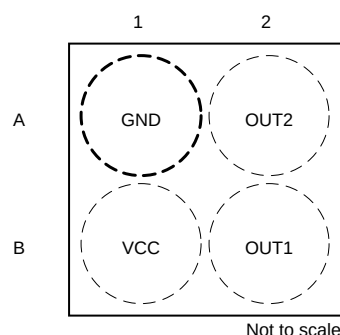


図 5-2. YBK パッケージ 4 ピン DSBGA (デュアルユニポーラ) 上面図

表 5-1. ピンの機能

名称	ピン		タイプ	説明
	DSBGA (オムニポーラ)	DSBGA (デュアルユニポーラ)		
GND	A1	A1	グラウンド	グラウンドピン。
NC	A2	—	接続なし	オムニポーラバージョン用高インピーダンス接続なしピン。フローティングのままにしてもかまいません。
OUT2	—	A2	出力	ユニポーラ出力。パッケージを通して負の磁束密度に応答します。
VCC	B1	B1	電源	電源電圧ピン。
OUT	B2	—	出力	オムニポーラ出力は、パッケージを通して正と負の両方の磁束密度に応答します。
OUT1	—	B2	出力	ユニポーラ出力。パッケージを通して正の磁束密度に応答します。

## 6 仕様

### 6.1 絶対最大定格

自由気流での動作温度範囲内 (特に記述のない限り) <sup>(1)</sup>

		最小値	最大値	単位
電源電圧	V <sub>CC</sub>	-0.3	7	V
出力ピン電圧	OUT、OUT1、OUT2 プッシュプル	GND - 0.3	V <sub>CC</sub> + 0.3	V
出力ピン電圧	OUT、OUT1、OUT2 オープンドレイン	0	7	V
出力ピンの電流	OUT、OUT1、OUT2	-5	5	mA
磁束密度、B <sub>MAX</sub>		制限なし		T
接合部温度、T <sub>J</sub>	接合部温度、T <sub>J</sub>	-50	150	°C
保管温度、T <sub>stg</sub>		-65	150	°C

(1) 「絶対最大定格」の範囲外の動作は、デバイスの永続的な損傷の原因となる可能性があります。「絶対最大定格」は、これらの条件において、または「推奨動作条件」に示された値を超える他のいかなる条件でも、本製品が正しく動作することを意味するものではありません。「絶対最大定格」の範囲内であっても「推奨動作条件」の範囲外で使用すると、デバイスが完全に機能しない可能性があり、デバイスの信頼性、機能、性能に影響を及ぼし、デバイスの寿命を縮める可能性があります。

### 6.2 ESD 定格

		値	単位
V <sub>(ESD)</sub>	静電放電	人体モデル (HBM)、ANSI/ESDA/JEDEC JS-001 に準拠、すべてのピン <sup>(1)</sup>	±8000
		デバイス帯電モデル (CDM)、ANSI/ESDA/JEDEC JS-002 <sup>(2)</sup>	±1000

(1) JEDEC のドキュメント JEP155 に、500V HBM では標準の ESD 管理プロセスで安全な製造が可能であると規定されています。

(2) JEDEC のドキュメント JEP157 に、250V CDM では標準の ESD 管理プロセスで安全な製造が可能であると規定されています。

### 6.3 推奨動作条件

自由気流での動作温度範囲内 (特に記述のない限り)

		最小値	最大値	単位
V <sub>CC</sub>	電源電圧	1.65	5.5	V
V <sub>IO</sub>	OUT、OUT1、OUT2 プッシュプルピン電圧	0	V <sub>CC</sub>	V
V <sub>IO</sub>	OUT、OUT1、OUT2 オープンドレインピン電圧	0	5.5	V
T <sub>A</sub>	周囲温度	-40	125	°C
出力ピンの電流	OUT、OUT1、OUT2	-3	3	mA

## 6.4 熱に関する情報

熱評価基準 <sup>(1)</sup>		TMAG5230		単位
		WCSP (YBK)	WCSP (YBH)	
		4ピン	4ピン	
$R_{\theta JA}$	接合部から周囲への熱抵抗	208.0	207.8	°C/W
$R_{\theta JC(top)}$	接合部からケース (上面) への熱抵抗	1.8	2.1	
$R_{\theta JB}$	接合部から基板への熱抵抗	60.7	72.2	
$\Psi_{JT}$	接合部から上面への特性パラメータ	1.0	1.1	
$\Psi_{JB}$	接合部から基板への特性パラメータ	61.1	60.9	

(1) 従来および最新の熱評価基準の詳細については、『[半導体および IC パッケージの熱評価基準](#)』アプリケーション ノートを参照してください。

## 6.5 電気的特性

自由気流での動作温度範囲内、 $V_{CC} = 1.65V \sim 5.5V$  (特に記述のない限り)。すべての仕様 (代表値) は、 $T_A = 25^\circ C$  および  $V_{CC} = 3.3V$  です (特に記述のない限り)。

パラメータ		テスト条件	最小値	標準値	最大値	単位
<b>デジタル入出力</b>						
$V_{OH}$	出力 HIGH 電圧	$I_{OUT} = -3mA$	$V_{CC} - 0.2$		$V_{CC}$	V
$V_{OL}$	出力 LOW 電圧	$I_{OUT} = 3mA$	0		0.2	V
$I_{OZ}$	出力 High リーク電流	$V_{CC} = 5.5V$ $V_{OUT} = 5.5V$	-0.1		0.1	$\mu A$
<b>電源</b>						
$I_{SLEEP}$	スリープ時の消費電流	$T_A = 25^\circ C$		0.15	0.29	$\mu A$
		$T_A = -40^\circ C \sim 85^\circ C$			0.3	
		$T_A = -40^\circ C \sim 125^\circ C$			0.9	
$t_{ON}$	パワーオン時間	$T_A = -40^\circ C \sim 125^\circ C$		140	250	$\mu s$

## 6.6 バージョンの特性

自由気流での動作温度範囲内、 $V_{CC} = 1.65V \sim 5.5V$  (特に記述のない限り)。すべての仕様は、 $T_A = 25^\circ C$  および  $V_{CC} = 3.3V$  です (特に記述のない限り)。

パラメータ		テスト条件	最小値	標準値	最大値	単位
<b>TMAG5230DxD</b>						
$f_s$	磁気サンプリングの周波数	$T_A = -40^\circ C \sim 125^\circ C$	17	20	24	Hz
$t_s$	磁気サンプリングの周期	$T_A = -40^\circ C \sim 125^\circ C$	41	50	59	ms
$I_{ACTIVE}$	アクティブ電源電流	$T_A = -40^\circ C \sim 125^\circ C$		1.85	2.4	mA
$t_{ACTIVE}$	アクティブ電流の持続時間	$T_A = -40^\circ C \sim 125^\circ C$		45	75	$\mu s$
$I_{CCAVG}$	平均電源電流	$T_A = 25^\circ C$		2.2	3.3	$\mu A$
		$T_A = -40^\circ C \sim 85^\circ C$			3.8	
		$T_A = -40^\circ C \sim 125^\circ C$			4.5	
$B_{OP}$	動作ポイント YBK パッケージ	$T_A = 25^\circ C$	$\pm 1.9$	$\pm 2.4$	$\pm 2.9$	mT
		$T_A = -40^\circ C \sim 85^\circ C$	$\pm 1.7$	$\pm 2.4$	$\pm 3.1$	
		$T_A = -40^\circ C \sim 125^\circ C$	$\pm 1.6$	$\pm 2.4$	$\pm 3.2$	
$B_{RP}$	リリースポイント YBK パッケージ	$T_A = 25^\circ C$	$\pm 1.3$	$\pm 2$	$\pm 2.4$	mT
		$T_A = -40^\circ C \sim 85^\circ C$	$\pm 1.1$	$\pm 2$	$\pm 2.7$	
		$T_A = -40^\circ C \sim 125^\circ C$	$\pm 1.1$	$\pm 2$	$\pm 2.7$	
$B_{OP}$	動作ポイント YBH パッケージ	$T_A = 25^\circ C$	$\pm 1.8$	$\pm 2.4$	$\pm 3.0$	mT
		$T_A = -40^\circ C \sim 85^\circ C$	$\pm 1.6$	$\pm 2.4$	$\pm 3.2$	
		$T_A = -40^\circ C \sim 125^\circ C$	$\pm 1.6$	$\pm 2.4$	$\pm 3.2$	
$B_{RP}$	リリースポイント YBH パッケージ	$T_A = 25^\circ C$	$\pm 1.3$	$\pm 2$	$\pm 2.5$	mT
		$T_A = -40^\circ C \sim 85^\circ C$	$\pm 1.1$	$\pm 2$	$\pm 2.8$	
		$T_A = -40^\circ C \sim 125^\circ C$	$\pm 1.1$	$\pm 2$	$\pm 2.8$	
$B_{HYS}$	ヒステリシス: $ B_{OP} - B_{RP} $	$T_A = -40^\circ C \sim 125^\circ C$	0.1	0.4		mT

**TMAG5230**

JAJSN7B – DECEMBER 2025 – REVISED FEBRUARY 2026

自由気流での動作温度範囲内、 $V_{CC} = 1.65V \sim 5.5V$  (特に記述のない限り)。すべての仕様は、 $T_A = 25^\circ C$  および  $V_{CC} = 3.3V$  です (特に記述のない限り)。

パラメータ		テスト条件	最小値	標準値	最大値	単位
<b>TMAG5230FxD</b>						
$f_s$	磁気サンプリングの周波数	$T_A = -40^\circ C \sim 125^\circ C$	17	20	24	Hz
$t_s$	磁気サンプリングの周期	$T_A = -40^\circ C \sim 125^\circ C$	41	50	59	ms
$I_{ACTIVE}$	アクティブ電源電流	$T_A = -40^\circ C \sim 125^\circ C$		1.85	2.4	mA
$t_{ACTIVE}$	アクティブ電流の持続時間	$T_A = -40^\circ C \sim 125^\circ C$		35	70	$\mu s$
$I_{CCAVG}$	平均電源電流	$T_A = 25^\circ C$		1.8	3.0	$\mu A$
		$T_A = -40^\circ C \sim 85^\circ C$			3.3	
		$T_A = -40^\circ C \sim 125^\circ C$			4.1	
$B_{OP}$	動作ポイント	$T_A = 25^\circ C$	$\pm 2.9$	$\pm 3.5$	$\pm 4.1$	mT
		$T_A = -40^\circ C \sim 85^\circ C$	$\pm 2.7$	$\pm 3.5$	$\pm 4.3$	
		$T_A = -40^\circ C \sim 125^\circ C$	$\pm 2.7$	$\pm 3.5$	$\pm 4.3$	
$B_{RP}$	リリースポイント	$T_A = 25^\circ C$	$\pm 1.8$	$\pm 2.5$	$\pm 3.2$	mT
		$T_A = -40^\circ C \sim 85^\circ C$	$\pm 1.5$	$\pm 2.5$	$\pm 3.5$	
		$T_A = -40^\circ C \sim 125^\circ C$	$\pm 1.5$	$\pm 2.5$	$\pm 3.5$	
$B_{HYS}$	ヒステリシス: $ B_{OP} - B_{RP} $	$T_A = -40^\circ C \sim 125^\circ C$	0.4	1		mT
<b>TMAG5230IxD</b>						
$f_s$	磁気サンプリングの周波数	$T_A = -40^\circ C \sim 125^\circ C$	17	20	24	Hz
$t_s$	磁気サンプリングの周期	$T_A = -40^\circ C \sim 125^\circ C$	41	50	59	ms
$I_{ACTIVE}$	アクティブ電源電流	$T_A = -40^\circ C \sim 125^\circ C$		1.85	2.4	mA
$t_{ACTIVE}$	アクティブ電流の持続時間	$T_A = -40^\circ C \sim 125^\circ C$		35	70	$\mu s$
$I_{CCAVG}$	平均電源電流	$T_A = 25^\circ C$		1.8	3.0	$\mu A$
		$T_A = -40^\circ C \sim 85^\circ C$			3.3	
		$T_A = -40^\circ C \sim 125^\circ C$			4.1	
$B_{OP}$	動作ポイント	$T_A = 25^\circ C$	$\pm 5.6$	$\pm 6.3$	$\pm 7.0$	mT
		$T_A = -40^\circ C \sim 85^\circ C$	$\pm 5.3$	$\pm 6.3$	$\pm 7.4$	
		$T_A = -40^\circ C \sim 125^\circ C$	$\pm 5.3$	$\pm 6.3$	$\pm 7.4$	
$B_{RP}$	リリースポイント	$T_A = 25^\circ C$	$\pm 4.7$	$\pm 5.4$	$\pm 6.1$	mT
		$T_A = -40^\circ C \sim 85^\circ C$	$\pm 4.2$	$\pm 5.4$	$\pm 6.5$	
		$T_A = -40^\circ C \sim 125^\circ C$	$\pm 4.2$	$\pm 5.4$	$\pm 6.5$	
$B_{HYS}$	ヒステリシス: $ B_{OP} - B_{RP} $	$T_A = -40^\circ C \sim 125^\circ C$	0.3	0.9		mT

自由気流での動作温度範囲内、 $V_{CC} = 1.65V \sim 5.5V$  (特に記述のない限り)。すべての仕様は、 $T_A = 25^\circ C$  および  $V_{CC} = 3.3V$  です (特に記述のない限り)。

パラメータ		テスト条件	最小値	標準値	最大値	単位
<b>TMAG5230JxD</b>						
$f_s$	磁気サンプリングの周波数	$T_A = -40^\circ C \sim 125^\circ C$	17	20	24	Hz
$t_s$	磁気サンプリングの周期	$T_A = -40^\circ C \sim 125^\circ C$	41	50	59	ms
$I_{ACTIVE}$	アクティブ電源電流	$T_A = -40^\circ C \sim 125^\circ C$		1.85	2.4	mA
$t_{ACTIVE}$	アクティブ電流の持続時間	$T_A = -40^\circ C \sim 125^\circ C$		35	70	$\mu s$
$I_{CCAVG}$	平均電源電流	$T_A = 25^\circ C$		1.8	3.0	$\mu A$
		$T_A = -40^\circ C \sim 85^\circ C$			3.3	
		$T_A = -40^\circ C \sim 125^\circ C$			4.1	
$B_{OP}$	動作ポイント	$T_A = 25^\circ C$	$\pm 8.5$	$\pm 9.5$	$\pm 10.5$	mT
		$T_A = -40^\circ C \sim 85^\circ C$	$\pm 8$	$\pm 9.5$	$\pm 11$	
		$T_A = -40^\circ C \sim 125^\circ C$	$\pm 8$	$\pm 9.5$	$\pm 11$	
$B_{RP}$	リリースポイント	$T_A = 25^\circ C$	$\pm 7.5$	$\pm 8.6$	$\pm 9.7$	mT
		$T_A = -40^\circ C \sim 85^\circ C$	$\pm 7.2$	$\pm 8.6$	$\pm 10$	
		$T_A = -40^\circ C \sim 125^\circ C$	$\pm 7.2$	$\pm 8.6$	$\pm 10$	
$B_{HYS}$	ヒステリシス: $ B_{OP} - B_{RP} $	$T_A = -40^\circ C \sim 125^\circ C$	0.4	0.9		mT
<b>TMAG5230KxD</b>						
$f_s$	磁気サンプリングの周波数	$T_A = -40^\circ C \sim 125^\circ C$	17	20	24	Hz
$t_s$	磁気サンプリングの周期	$T_A = -40^\circ C \sim 125^\circ C$	41	50	59	ms
$I_{ACTIVE}$	アクティブ電源電流	$T_A = -40^\circ C \sim 125^\circ C$		1.85	2.4	mA
$t_{ACTIVE}$	アクティブ電流の持続時間	$T_A = -40^\circ C \sim 125^\circ C$		35	70	$\mu s$
$I_{CCAVG}$	平均電源電流	$T_A = 25^\circ C$		1.8	3.0	$\mu A$
		$T_A = -40^\circ C \sim 85^\circ C$			3.3	
		$T_A = -40^\circ C \sim 125^\circ C$			4.1	
$B_{OP}$	動作ポイント	$T_A = 25^\circ C$	$\pm 13.7$	$\pm 15$	$\pm 16.3$	mT
		$T_A = -40^\circ C \sim 85^\circ C$	$\pm 13.2$	$\pm 15$	$\pm 16.8$	
		$T_A = -40^\circ C \sim 125^\circ C$	$\pm 13.2$	$\pm 15$	$\pm 16.8$	
$B_{RP}$	リリースポイント	$T_A = 25^\circ C$	$\pm 12.8$	$\pm 14.1$	$\pm 15.4$	mT
		$T_A = -40^\circ C \sim 85^\circ C$	$\pm 12.4$	$\pm 14.1$	$\pm 15.8$	
		$T_A = -40^\circ C \sim 125^\circ C$	$\pm 12.4$	$\pm 14.1$	$\pm 15.8$	
$B_{HYS}$	ヒステリシス: $ B_{OP} - B_{RP} $	$T_A = -40^\circ C \sim 125^\circ C$	0.4	0.9		mT

**TMAG5230**

JAJSN7B – DECEMBER 2025 – REVISED FEBRUARY 2026

自由気流での動作温度範囲内、 $V_{CC} = 1.65V \sim 5.5V$  (特に記述のない限り)。すべての仕様は、 $T_A = 25^\circ C$  および  $V_{CC} = 3.3V$  です (特に記述のない限り)。

パラメータ		テスト条件	最小値	標準値	最大値	単位
<b>TMAG5230LxD</b>						
$f_s$	磁気サンプリングの周波数	$T_A = -40^\circ C \sim 125^\circ C$	17	20	24	Hz
$t_s$	磁気サンプリングの周期	$T_A = -40^\circ C \sim 125^\circ C$	41	50	59	ms
$I_{ACTIVE}$	アクティブ電源電流	$T_A = -40^\circ C \sim 125^\circ C$		1.85	2.4	mA
$t_{ACTIVE}$	アクティブ電流の持続時間	$T_A = -40^\circ C \sim 125^\circ C$		35	70	$\mu s$
$I_{CCAVG}$	平均電源電流	$T_A = 25^\circ C$		1.8	3.0	$\mu A$
		$T_A = -40^\circ C \sim 85^\circ C$			3.3	
		$T_A = -40^\circ C \sim 125^\circ C$			4.1	
$B_{OP}$	動作ポイント	$T_A = 25^\circ C$	$\pm 13.5$	$\pm 15$	$\pm 16.5$	mT
		$T_A = -40^\circ C \sim 85^\circ C$	$\pm 13$	$\pm 15$	$\pm 17$	
		$T_A = -40^\circ C \sim 125^\circ C$	$\pm 13$	$\pm 15$	$\pm 17$	
$B_{RP}$	リリースポイント	$T_A = 25^\circ C$	$\pm 11$	$\pm 13$	$\pm 14.5$	mT
		$T_A = -40^\circ C \sim 85^\circ C$	$\pm 11$	$\pm 13$	$\pm 15$	
		$T_A = -40^\circ C \sim 125^\circ C$	$\pm 11$	$\pm 13$	$\pm 15$	
$B_{HYS}$	ヒステリシス: $ B_{OP} - B_{RP} $	$T_A = -40^\circ C \sim 125^\circ C$	1	2		mT

## 6.7 代表的特性

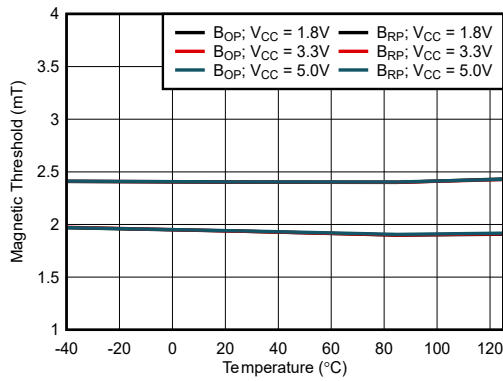


図 6-1. 2.4mT B<sub>OP</sub> : スレッシュヨルドと温度との関係

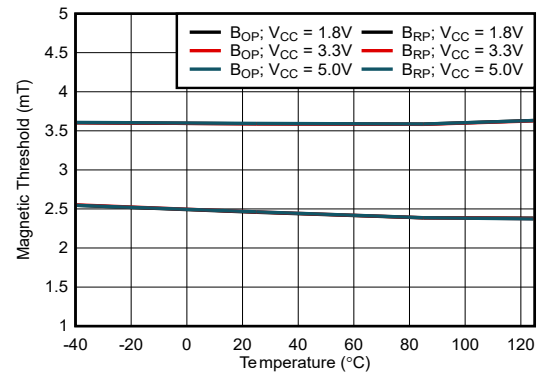


図 6-2. 3.5mT B<sub>OP</sub> : スレッシュヨルドと温度との関係

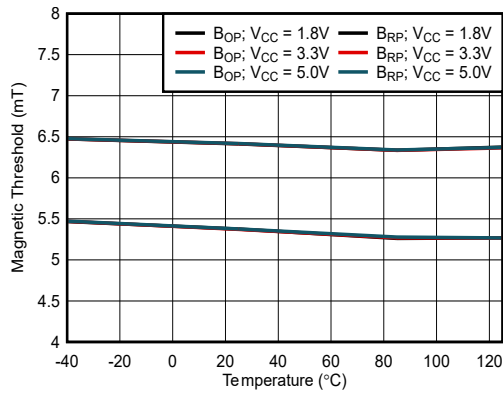


図 6-3. 6.3mT B<sub>OP</sub> : スレッシュヨルドと温度との関係

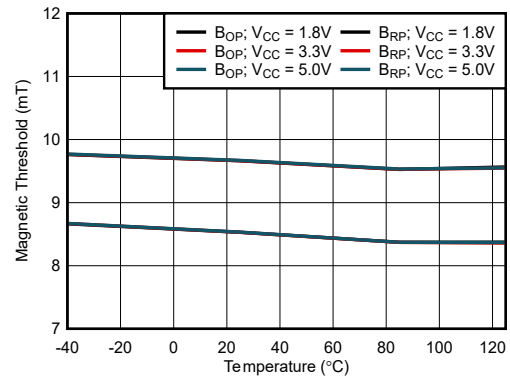


図 6-4. 9.5mT B<sub>OP</sub> : スレッシュヨルドと温度との関係

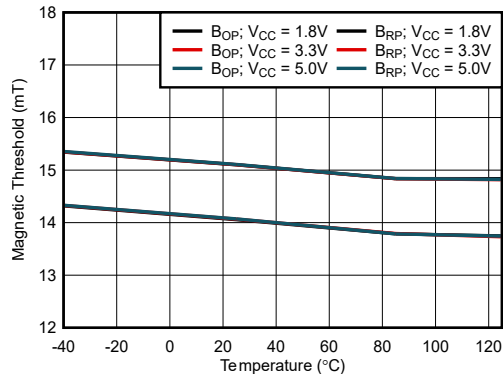


図 6-5. 15mT B<sub>OP</sub>、14.1mT B<sub>RP</sub> : スレッシュヨルドと温度との関係

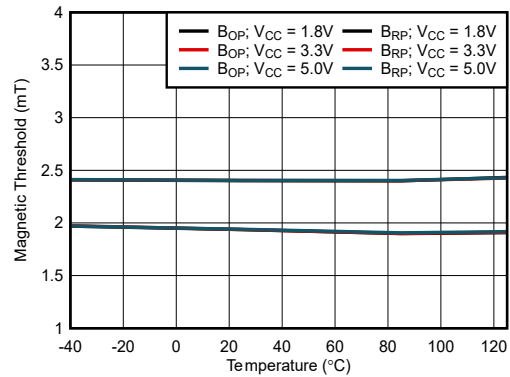
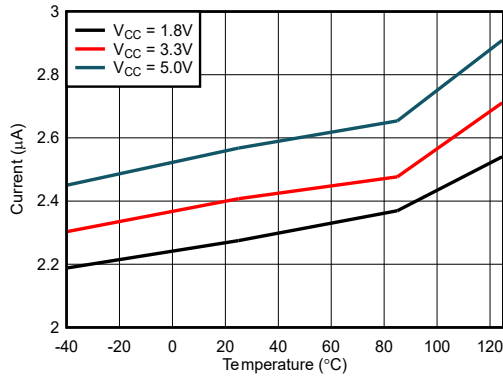
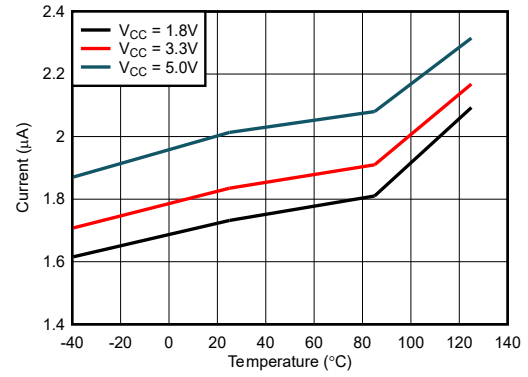


図 6-6. 15mT B<sub>OP</sub>、13mT B<sub>RP</sub> : スレッシュヨルドと温度との関係



バージョン: DxD

図 6-7. 20Hz I<sub>CCA</sub>VG と温度との関係



バージョン: FxD, IxD, JxD, KxD, LxD

図 6-8. 20Hz I<sub>CCA</sub>VG と温度との関係

## 7 詳細説明

### 7.1 概要

TMAG5230 は、磁束密度スレッショルド ( $B_{OP}$  と  $B_{RP}$ ) を超えたことを示す、1 つまたは 2 つのデジタル出力を備えたホール効果センサです。注文可能な型番である TMAG5230 に基づいて、磁気スレッショルド、磁気極検出、出力タイプ、アクティブ出力状態、サンプリング周波数を最終アプリケーションに最適な値に選択できます。

### 7.2 機能ブロック図

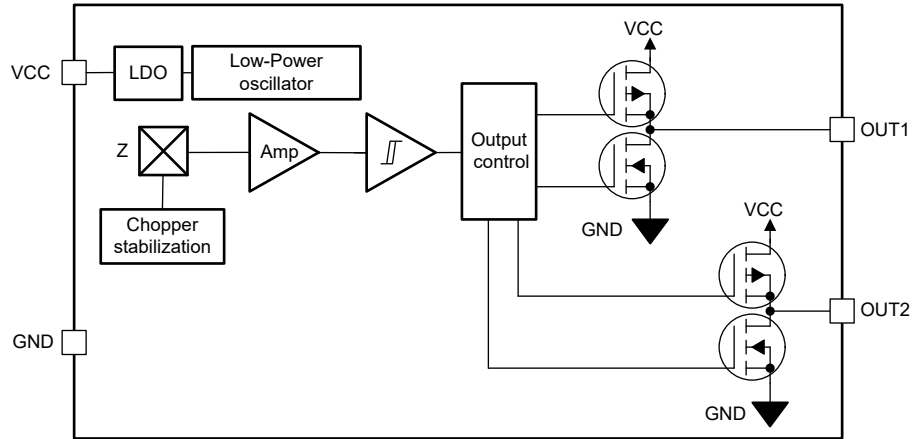


図 7-1. ブロック図

## 7.3 機能説明

### 7.3.1 磁束密度方向

TMAG5230 は、パッケージに垂直な磁束密度を検出します。パッケージの底面から上面に向かう磁束密度は正と見なされ、パッケージの上面から底面に向かう磁束密度は負と見なされます。図 7-2 に示すように、DSBGA パッケージの上部に近い南極は正の磁束密度を誘導し、DSBGA パッケージの上部に近い北極は負の磁束密度を誘導します。

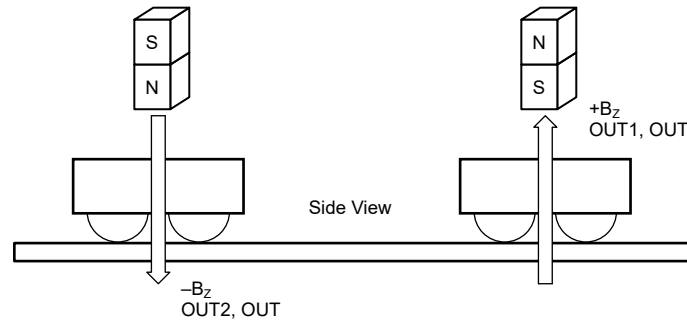


図 7-2. 磁束密度感度軸

磁石は、周囲の空間全体を透過する 3 次元磁界を生成します。この空間では、各ポイントで磁界の強度と方向が変化します。この変動により、図 7-4 と図 7-3 に示すように、正 (または負) の磁束密度を誘導する複数の方法が可能になります。

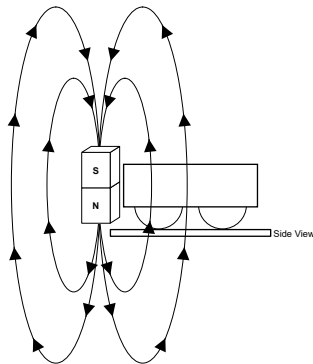


図 7-3. 正の磁束密度：磁気オフセット

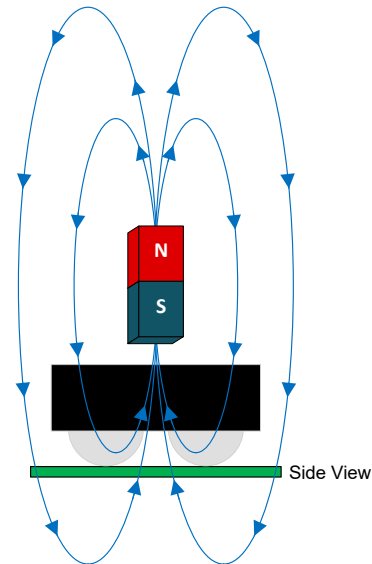


図 7-4. 正の磁束密度：磁気インライン

### 7.3.2 磁気応答

TMAG5230 の磁気ポール検出は、注文可能な型番に応じて、オムニポーラまたはデュアル ユニポーラのいずれかになります。オムニポーラ スイッチとして、OUT ピンは [図 7-5](#) に示すように正負両方の磁束密度に反応します。

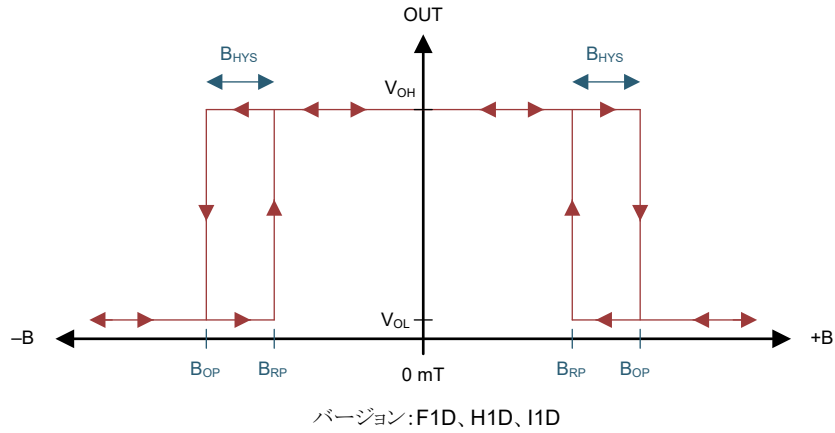


図 7-5. オムニポーラ アクティブ Low 機能

デュアル ユニポーラ スイッチとして、OUT1 ピンはパッケージを通過する正の磁束密度に反応し、OUT2 ピンはパッケージを通過する負の磁束密度に反応します。このデュアルユニポーラ出力応答を [図 7-6](#) に示します。

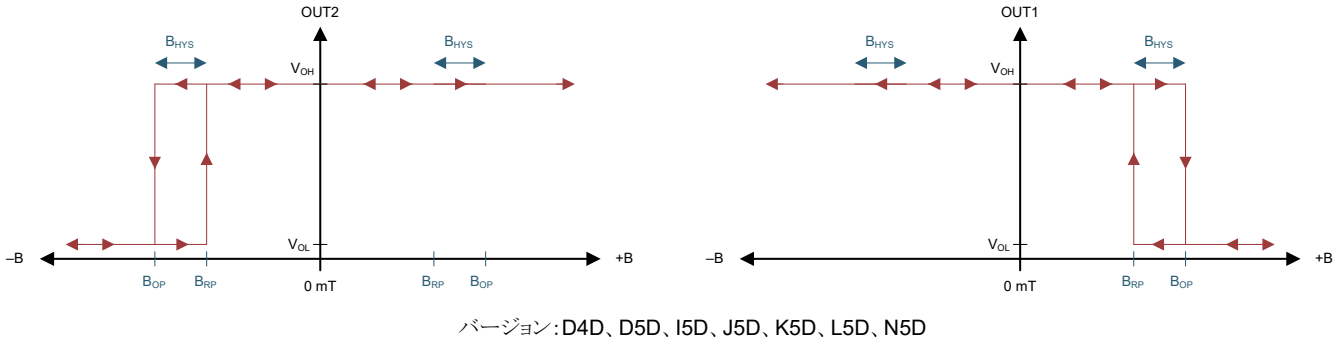
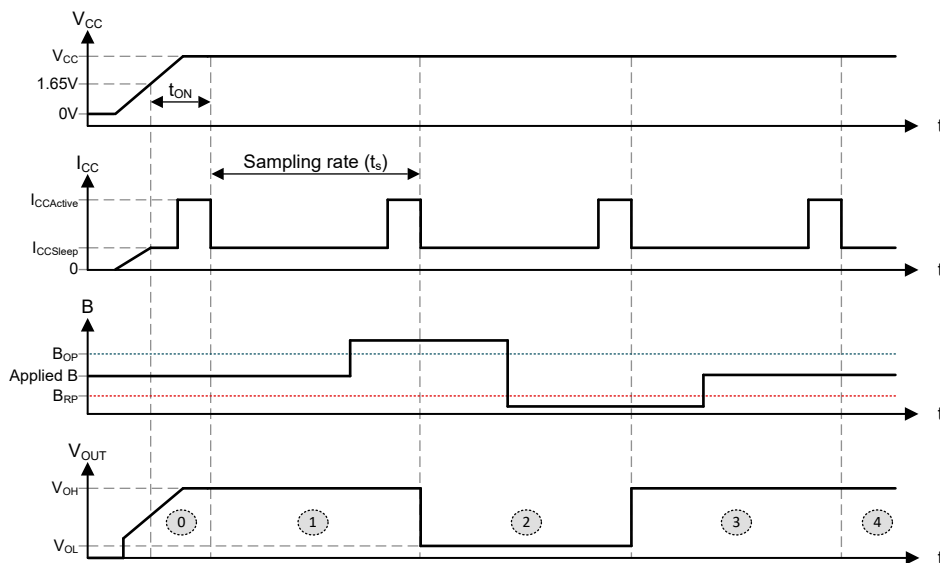


図 7-6. デュアル ユニポーラ、アクティブ Low 機能

### 7.3.3 タイミング

TMAG5230 はデューティ サイクル デバイスとして動作し、磁束密度を定期的に測定して出力を更新し、測定と測定の間には低消費電力スリープ状態に移行して、消費電力を節約します。図 7-7 に、TMAG5230 のスタートアップ動作と、さまざまな磁束密度シナリオに基づくアクティブ Low オムニポーラ出力ピン電圧の例をいくつか示します。V<sub>CC</sub> の最小値に達すると、TMAG5230 はパワーアップ、最初の磁気サンプルの測定、出力値の設定に t<sub>ON</sub> の時間がかかります。出力値が設定されると、出力がラッチされ、デバイスは低消費電力スリープ状態に移行します。t<sub>S</sub> が経過するたびに、本デバイスは新しいサンプルを測定し、必要に応じて出力を更新します。周期と周期の間で磁界が変化しない場合、出力も変化しません。



- ① The default start-up state for V<sub>OUT</sub> is V<sub>OH</sub> regardless of the B flux density through the package.
- ② 1<sup>st</sup> Sample: B flux density sampled was B<sub>RP</sub> < B < B<sub>OP</sub>, therefore V<sub>OUT</sub> remains in its default start-up state (V<sub>OH</sub>).
- ③ 2<sup>nd</sup> Sample: B Flux density sampled was B > B<sub>OP</sub>, therefore V<sub>OUT</sub> is driven to V<sub>OL</sub>.
- ④ 3<sup>rd</sup> Sample: B Flux density sampled was B < B<sub>RP</sub>, therefore V<sub>OUT</sub> is driven to V<sub>OH</sub>.
- ⑤ 4<sup>th</sup> Sample: B Flux density sampled was B<sub>RP</sub> < B < B<sub>OP</sub>, therefore V<sub>OUT</sub> continues its previous state (V<sub>OH</sub> from sample 3).

図 7-7. タイミングと出力の図

### 7.3.4 ホール素子の位置

図 7-8 に、デバイス内の検出素子を示します。

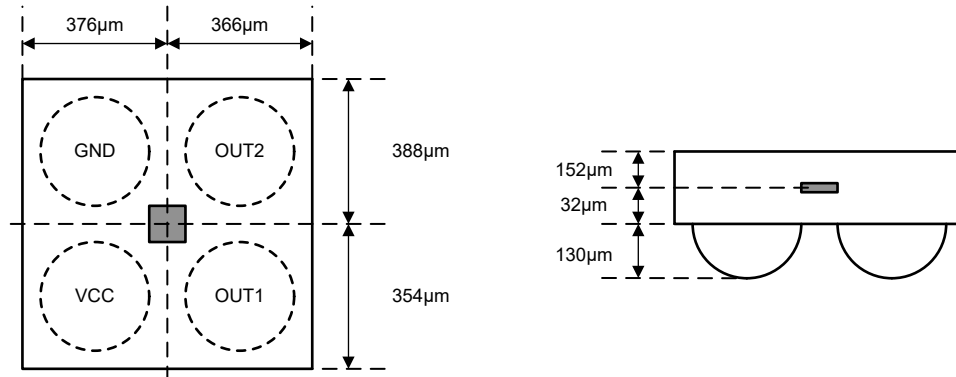


図 7-8. ホール素子の位置 (上面図)

### 7.4 デバイスの機能モード

TMAG5230 は、[推奨動作条件](#)が満たされている場合、「[タイミング](#)」セクションに記載されているように、常にデューティサイクルモードで動作します。

## 8 アプリケーションと実装

### 注

以下のアプリケーション情報は、テキサス・インスツルメンツの製品仕様に含まれるものではなく、テキサス・インスツルメンツはその正確性も完全性も保証いたしません。個々の目的に対する製品の適合性については、お客様の責任で判断していただくことになります。また、お客様は自身の設計実装を検証しテストすることで、システムの機能を確認する必要があります。

### 8.1 アプリケーション情報

TMAG5230 は、磁石の近接検出に使用されるホール効果スイッチです。このスイッチは、システム内の可動部品にしばしば取り付けられます。磁石がセンサに十分に近づき、TMAG5230 軸に沿って  $B_{OP}$  スレッシュホールドを超える磁束密度が誘導されると、センサの出力は GND にプルダウンされます。この Low 出力はコントローラの GPIO ピンによって読み取ることができ、システムは磁石がスレッシュホールドを超えたことを認識でき、部品の位置または移動を示します。このアプリケーションは、産業用オートメーションや民生用電子機器など、位置や移動の高精度な検出が重要となるさまざまな分野で一般的です。

磁石は複雑で非線形な動作を行うため、システムが意図したとおりに動作するために必要な磁石特性を決定するのが困難な場合があります。したがって、TI では、実験で設計プロセスを開始して、実際に動作する設計を解決することをお勧めします。迅速な設計の反復を容易に行えるように、*TI の Magnetic Sense Simulator (TIMSS)* ウェブツールは、システム設計で標準的なセンサ性能をエミュレートする視覚的インターフェースを提供します。TIMSS シミュレーションは、さまざまな運動範囲での予想される磁界の挙動を理解することができ、シミュレーションは数秒で実行されます。

### 8.2 代表的なアプリケーション

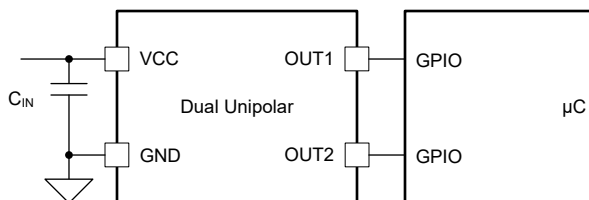


図 8-1. 代表的なアプリケーション回路図

### 8.3 設計要件

このセクションでは、磁石近接検出アプリケーション用の *TI Magnetic Sense Simulator (TIMSS)* ウェブ ツールの使用例を紹介します。次の表に、TMAG5230 を搭載した製品容器に近づくアクセサリ上での磁石の移動に関連する設計パラメータを示します。

表 8-1. 設計パラメータ

パラメータ	値
電源電圧 (V <sub>CC</sub> )	1.8V
バイパス コンデンサ	0.1µF
部品番号	TMAG5230D5D
磁石の動作範囲	10mm Z
磁石の形状	軸シリンダ
磁石の幅	2mm
磁石の高さ	1mm
磁石タイプ	N35

>

## 8.4 詳細な設計手順

磁石が TMAG5230 の上方 Z 高さ 22mm の開始位置から Z 高さ 2mm の最終位置まで移動すると、TMAG5230 で観測される磁束密度が変化します。この設計例では、TMAG5230 はユニポーラ出力を備えており、システムが磁界の極性を判定できます。

磁石の開始位置では、磁束密度が  $B_{OP}$  未満であるため、TMAG5230 の  $OUTx$  出力は高くなります。磁石が X 軸をセンサに向かって移動すると、磁束密度は Xmm の距離で TMAG5230 の負の  $B_{OP}$  スレッショルドを交差し、 $OUTx$  出力が low になります。磁石が TMAG5230 から離れると磁束密度が低下し、Ymm の距離で  $B_{RP}$  スレッショルドを超えると、 $OUTx$  出力が High になります。

## 8.5 アプリケーション曲線

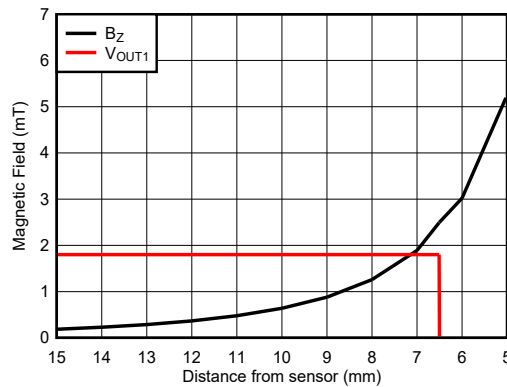


図 8-2.  $B_{EXT}$  に対する TMAG5230D5D の応答

## 8.6 電源に関する推奨事項

電源の電圧変動とノイズをフィルタリングするため、センサの電源とグランドの間に少なくとも  $0.1\mu F$  のバイパス コンデンサを配置することを TI は推奨します。ベスト プラクティスとして、このバイパス コンデンサをセンサの電源ピンにできるだけ近づけて配置することをお勧めします。

## 8.7 レイアウト

### 8.7.1 レイアウトのガイドライン

磁界は、大きく乱されることなくほとんどの非強磁性物質を透過します。プラスチックまたはアルミニウム製の管体内にホール エフェクト センサを組込み、外側の磁石を検出することはよく行われています。磁界はほとんどのプリント基板 (PCB) も簡単に透過するため、基板の反対側に磁石を配置することも可能です。

### 8.7.2 レイアウト例

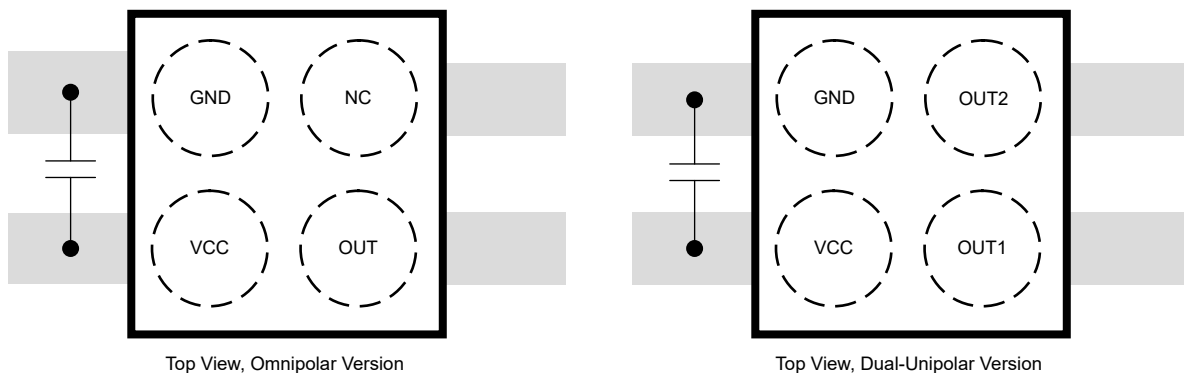


図 8-3. DSBGA のレイアウト例

## 9 デバイスおよびドキュメントのサポート

### 9.1 デバイスの命名規則

TMAG5230 デバイスの注文可能型番全体を読むための凡例を [図 9-1](#) に示します。

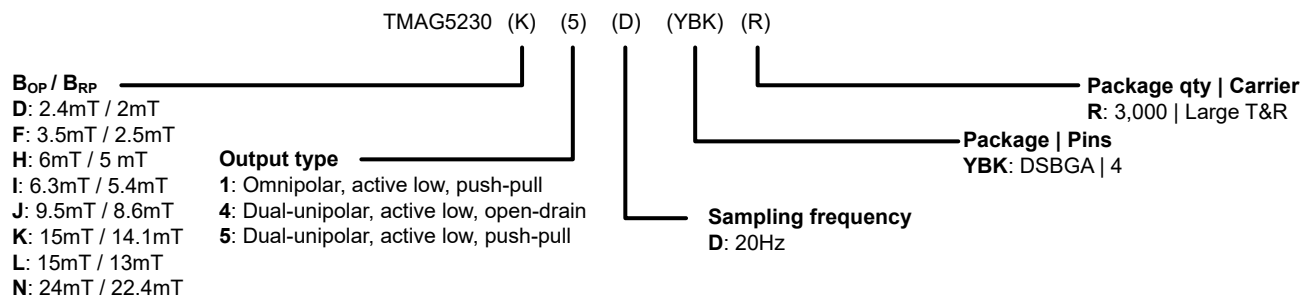


図 9-1. デバイスの命名規則

#### 注

[デバイス比較表](#)に記載されていないオプションについては、テキサス インスツルメンツにお問い合わせください。

### 9.2 ドキュメントの更新通知を受け取る方法

ドキュメントの更新についての通知を受け取るには、[www.tij.co.jp](http://www.tij.co.jp) のデバイス製品フォルダを開いてください。[通知] をクリックして登録すると、変更されたすべての製品情報に関するダイジェストを毎週受け取ることができます。変更の詳細については、改訂されたドキュメントに含まれている改訂履歴をご覧ください。

### 9.3 サポート・リソース

[テキサス・インスツルメンツ E2E™ サポート・フォーラム](#)は、エンジニアが検証済みの回答と設計に関するヒントをエキスパートから迅速かつ直接得ることができる場所です。既存の回答を検索したり、独自の質問をしたりすることで、設計に必要な支援を迅速に得ることができます。

リンクされているコンテンツは、各寄稿者により「現状のまま」提供されるものです。これらはテキサス・インスツルメンツの仕様を構成するものではなく、必ずしもテキサス・インスツルメンツの見解を反映したものではありません。テキサス・インスツルメンツの[使用条件](#)を参照してください。

### 9.4 商標

テキサス・インスツルメンツ E2E™ is a trademark of Texas Instruments.

すべての商標は、それぞれの所有者に帰属します。

### 9.5 静電気放電に関する注意事項



この IC は、ESD によって破損する可能性があります。テキサス・インスツルメンツは、IC を取り扱う際には常に適切な注意を払うことを推奨します。正しい取り扱いおよび設置手順に従わない場合、デバイスを破損するおそれがあります。

ESD による破損は、わずかな性能低下からデバイスの完全な故障まで多岐にわたります。精密な IC の場合、パラメータがわずかに変化するだけで公表されている仕様から外れる可能性があるため、破損が発生しやすくなっています。

### 9.6 用語集

[テキサス・インスツルメンツ用語集](#) この用語集には、用語や略語の一覧および定義が記載されています。

## 10 改訂履歴

資料番号末尾の英字は改訂を表しています。その改訂履歴は英語版に準じています。

<b>Changes from FEBRUARY 10, 2026 to FEBRUARY 24, 2026 (from Revision A (February 2026) to Revision B (February 2026))</b>	<b>Page</b>
• 「デバイスの比較」およびドキュメント全体を通して、新しい I5D バリエーションの情報を追加.....	2

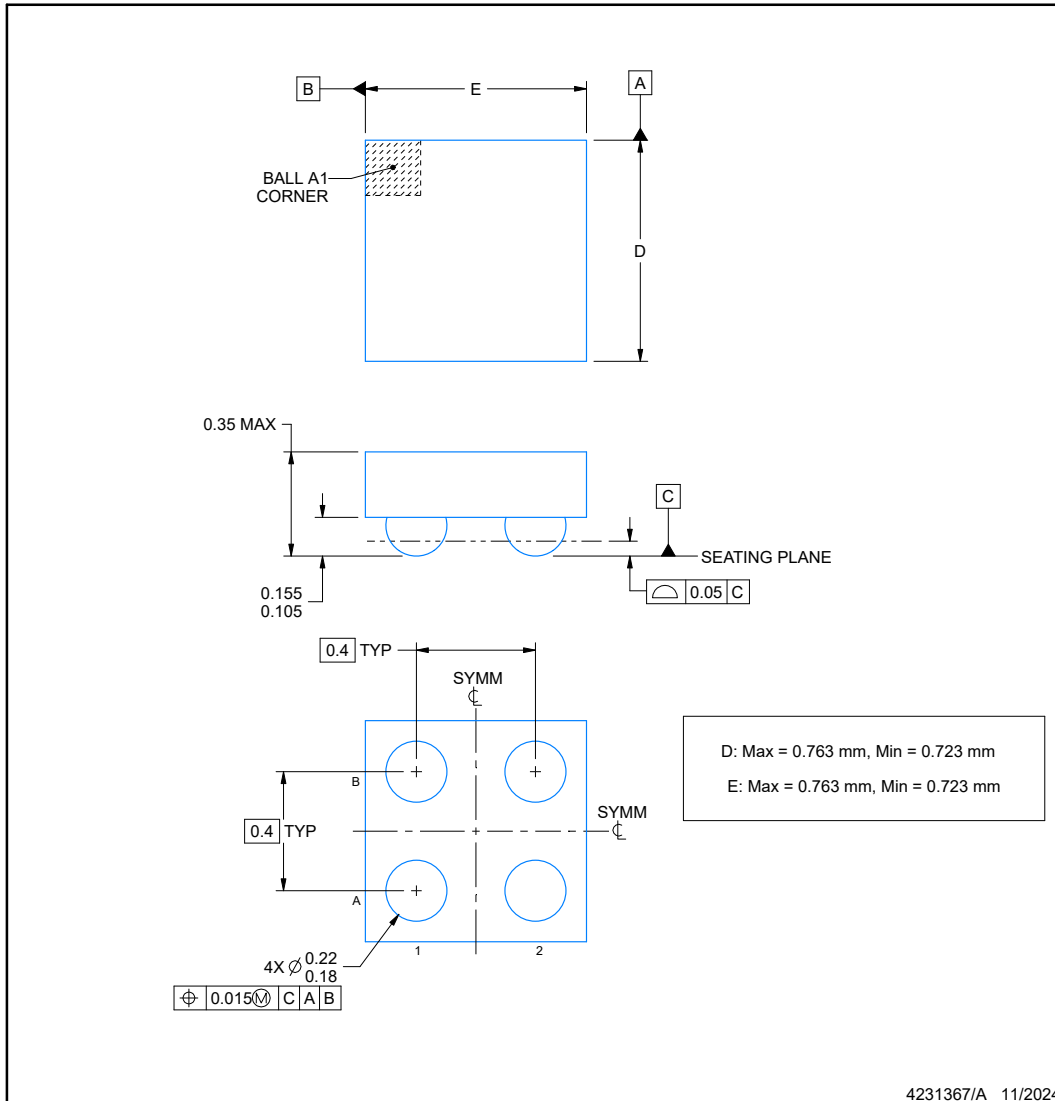
<b>Changes from Revision * (December 2025) to Revision A (February 2026)</b>	<b>Page</b>
• 「熱に関する情報」の表に YBH パッケージ特性を追加 .....	6
• 「電気的特性」表に I <sub>oz</sub> パラメトリック データを追加.....	7
• TMAG5230DxD バリエーションの YBH パッケージ データを追加.....	7
• 「バージョンの特性」の表に TMAG5230FxD を追加 .....	7
• 「バージョンの特性」の表に TMAG5230JxD を追加 .....	7
• 「バージョンの特性」の表に TMAG5230KxD を追加 .....	7
• 「バージョンの特性」の表に TMAG5230LxD を追加 .....	7
• 「代表的特性」セクションに TMAG5230FxD、TMAG5230JxD、TMAG5230KxD、TMAG5230LxD の情報を追加	11

## 11 メカニカルおよびパッケージ情報

以降のページには、メカニカル、パッケージ、および注文に関する情報が記載されています。この情報は、指定のデバイスに使用できる最新のデータです。このデータは、予告なく、このドキュメントを改訂せずに変更される場合があります。本データシートのブラウザ版を使用されている場合は、画面左側の説明をご覧ください。

### 11.1 メカニカル データ

**YBK0004-C02**  **PACKAGE OUTLINE**  
**DSBGA - 0.35 mm max height**  
DIE SIZE BALL GRID ARRAY



NOTES:

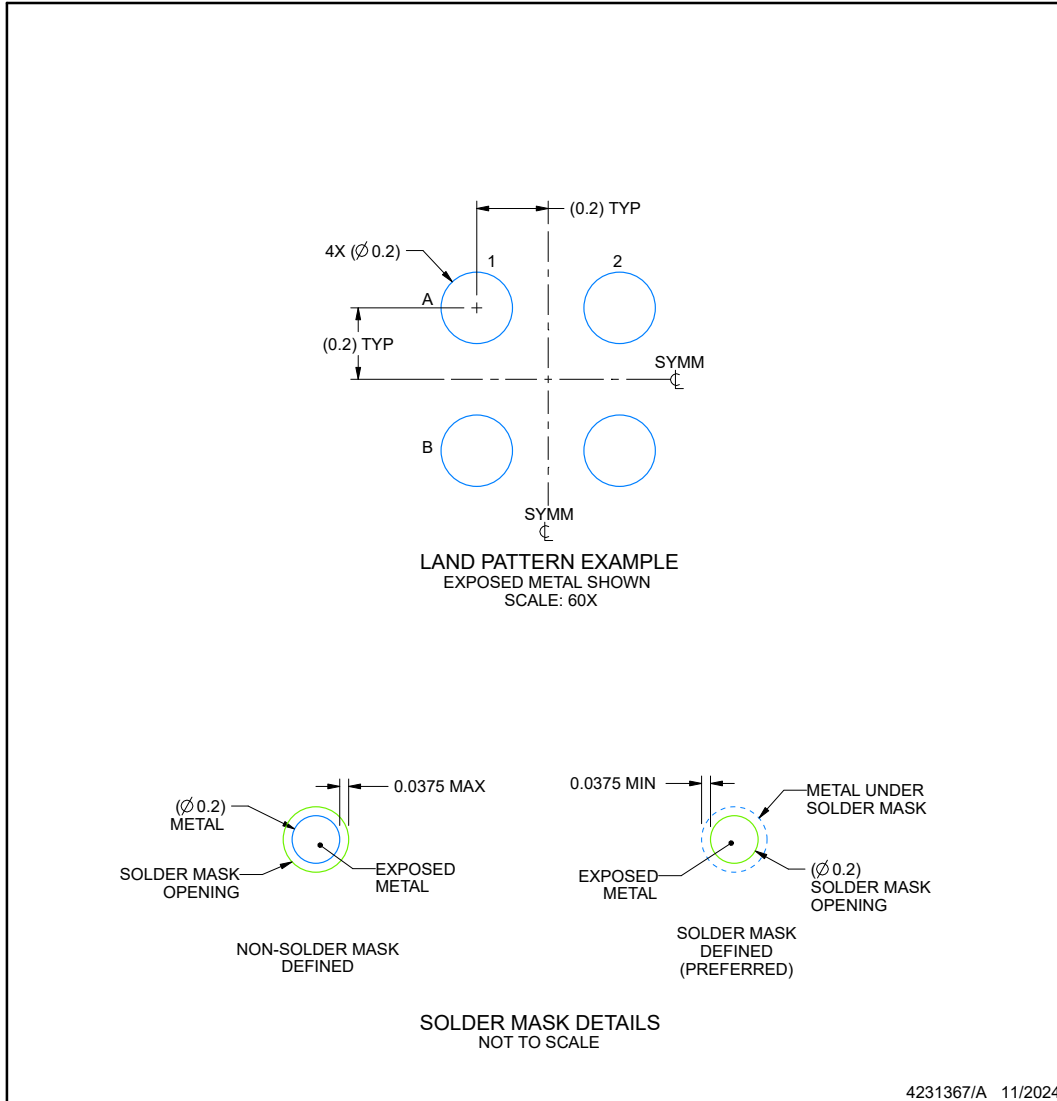
1. All linear dimensions are in millimeters. Any dimensions in parenthesis are for reference only. Dimensioning and tolerancing per ASME Y14.5M.
2. This drawing is subject to change without notice.

## EXAMPLE BOARD LAYOUT

**YBK0004-C02**

**DSBGA - 0.35 mm max height**

DIE SIZE BALL GRID ARRAY



NOTES: (continued)

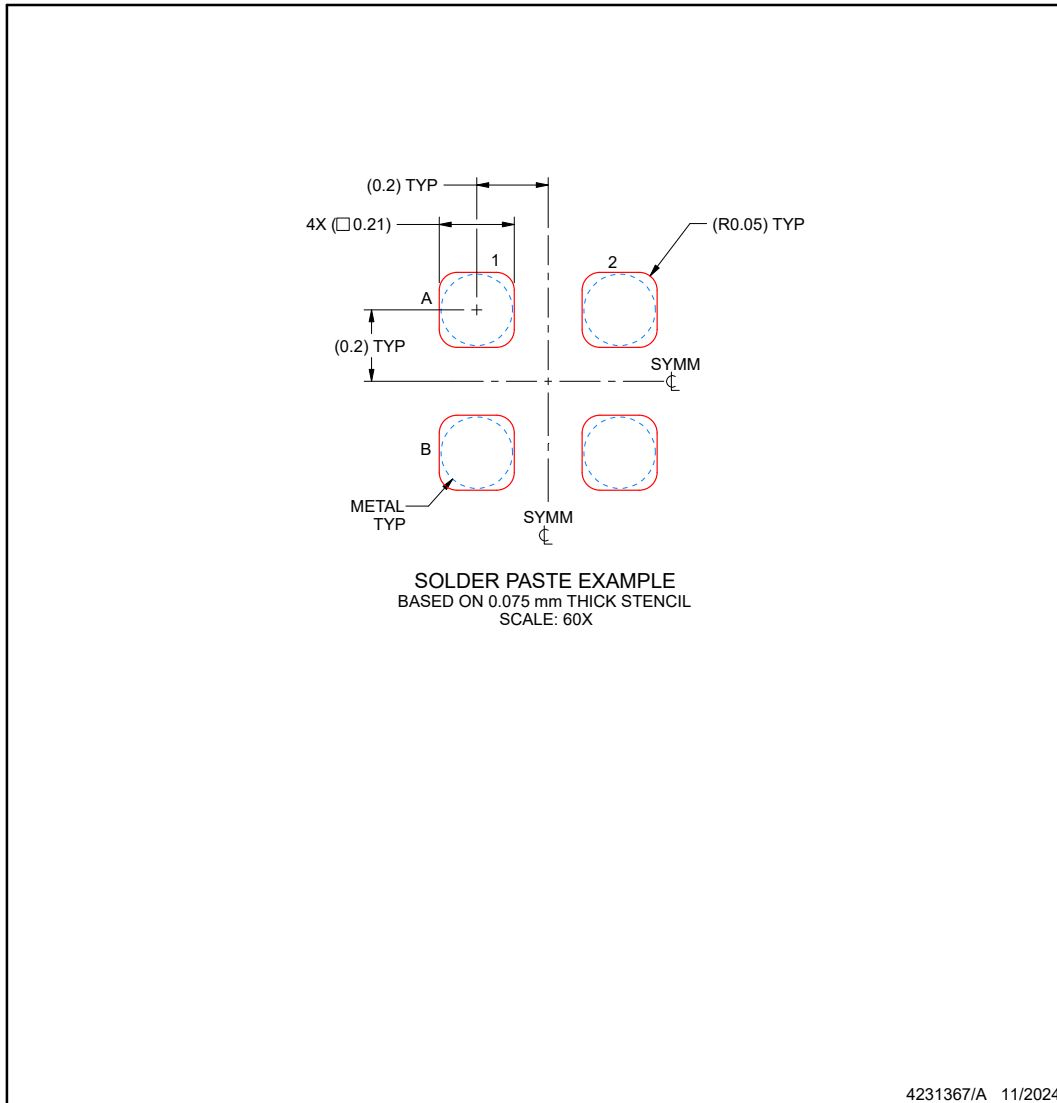
- Final dimensions may vary due to manufacturing tolerance considerations and also routing constraints. See Texas Instruments Literature No. SNVA009 ([www.ti.com/lit/snva009](http://www.ti.com/lit/snva009)).

**EXAMPLE STENCIL DESIGN**

**YBK0004-C02**

**DSBGA - 0.35 mm max height**

DIE SIZE BALL GRID ARRAY



NOTES: (continued)

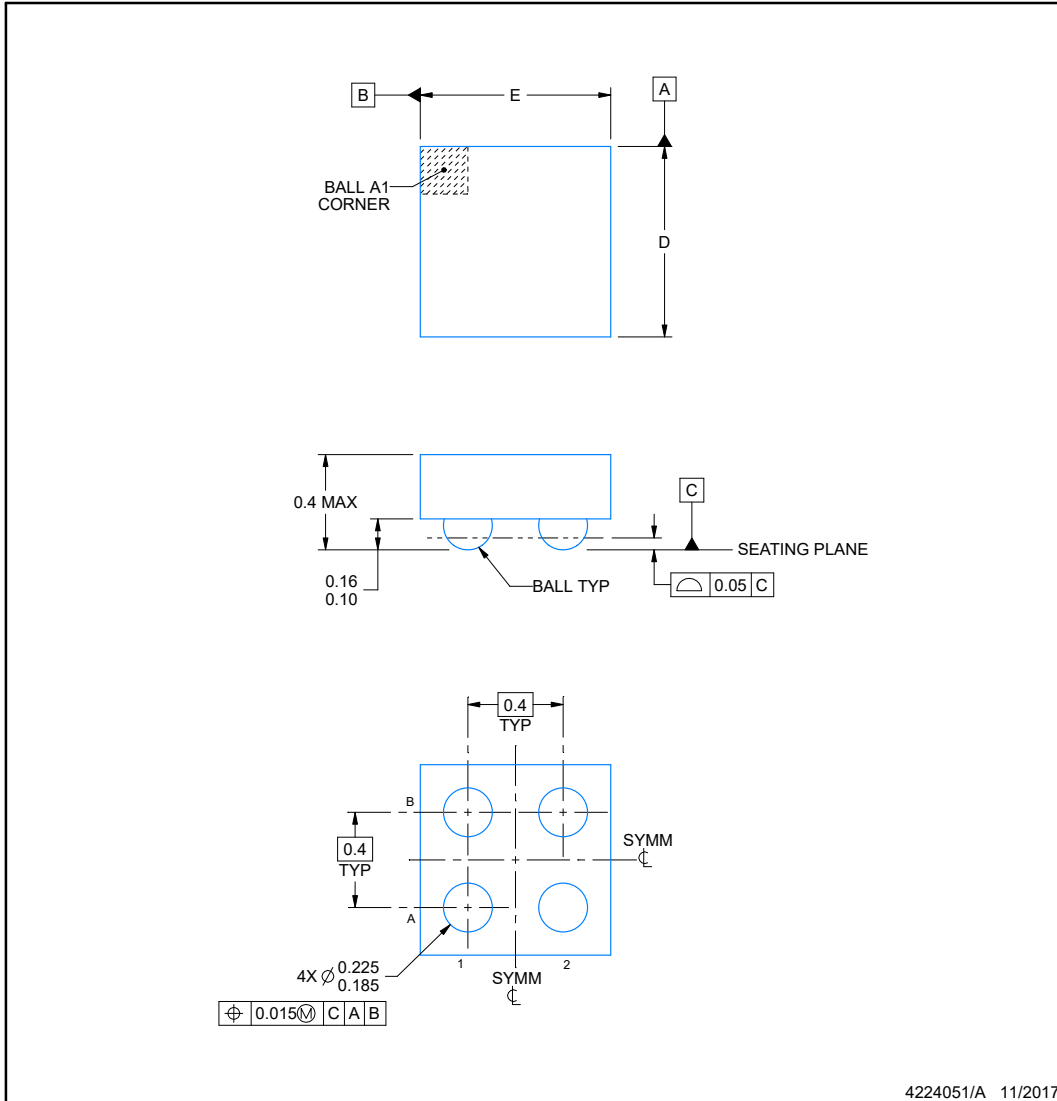
- 4. Laser cutting apertures with trapezoidal walls and rounded corners may offer better paste release.



**YBH0004**

**PACKAGE OUTLINE**  
**DSBGA - 0.4 mm max height**

DIE SIZE BALL GRID ARRAY



**NOTES:**

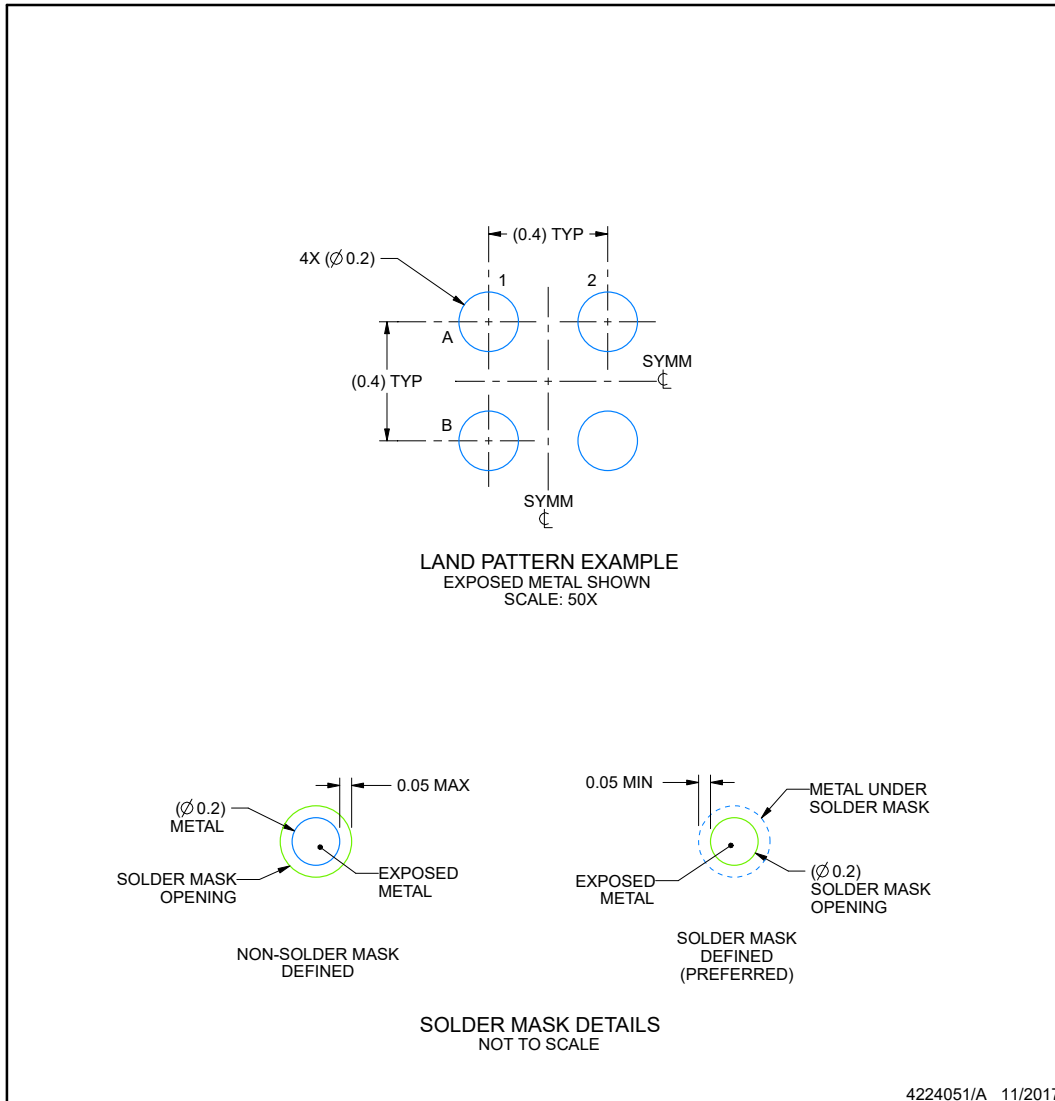
1. All linear dimensions are in millimeters. Any dimensions in parenthesis are for reference only. Dimensioning and tolerancing per ASME Y14.5M.
2. This drawing is subject to change without notice.

## EXAMPLE BOARD LAYOUT

**YBH0004**

**DSBGA - 0.4 mm max height**

DIE SIZE BALL GRID ARRAY



NOTES: (continued)

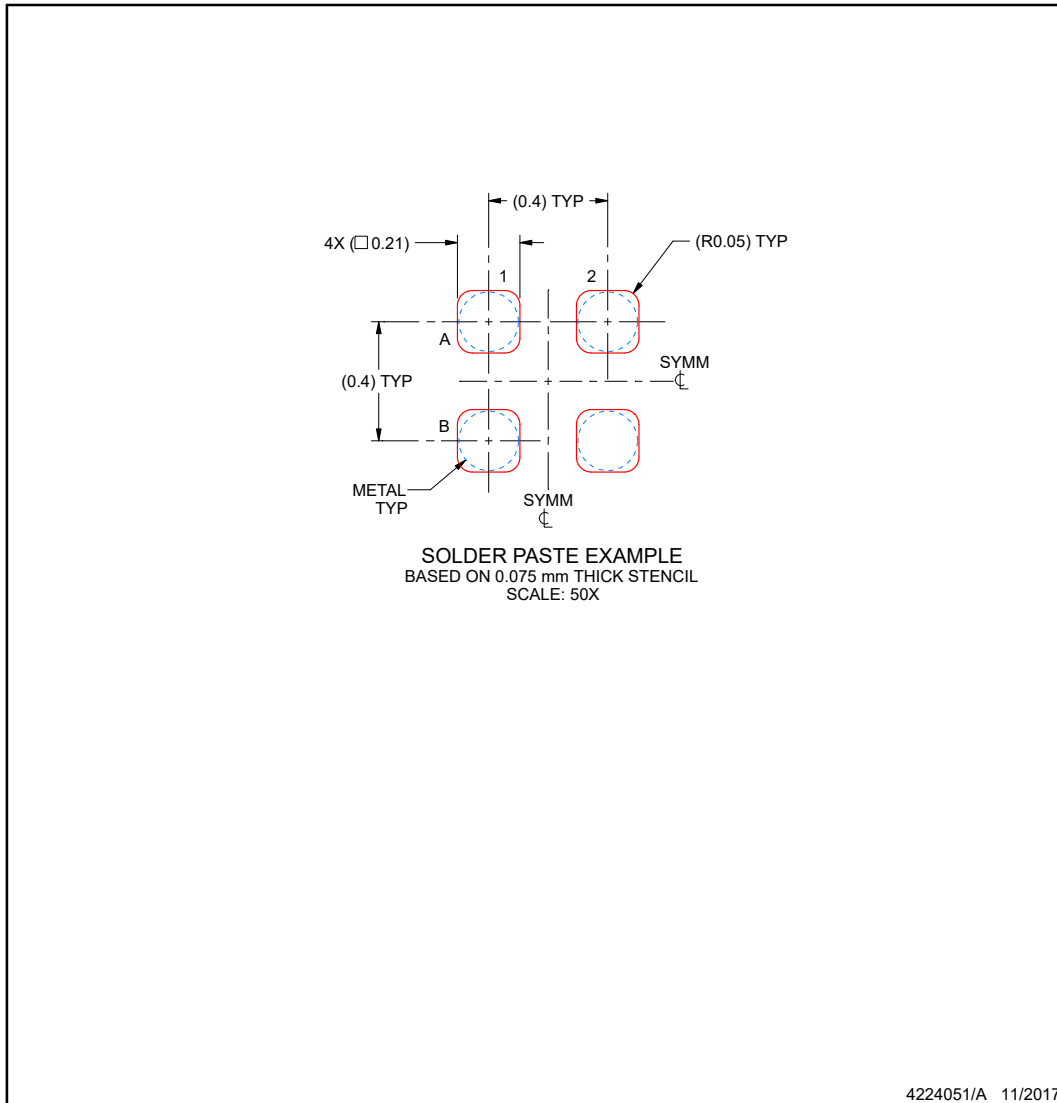
- Final dimensions may vary due to manufacturing tolerance considerations and also routing constraints. See Texas Instruments Literature No. SNVA009 ([www.ti.com/lit/snva009](http://www.ti.com/lit/snva009)).

## EXAMPLE STENCIL DESIGN

**YBH0004**

**DSBGA - 0.4 mm max height**

DIE SIZE BALL GRID ARRAY



NOTES: (continued)

4. Laser cutting apertures with trapezoidal walls and rounded corners may offer better paste release.

**PACKAGING INFORMATION**

Orderable part number	Status (1)	Material type (2)	Package   Pins	Package qty   Carrier	RoHS (3)	Lead finish/ Ball material (4)	MSL rating/ Peak reflow (5)	Op temp (°C)	Part marking (6)
<a href="#">TMAG5230D1DYBKR</a>	Active	Production	DSBGA (YBK)   4	3000   LARGE T&R	Yes	SNAGCU	Level-1-260C-UNLIM	-40 to 125	X
<a href="#">TMAG5230D5DYBHR</a>	Active	Production	DSBGA (YBH)   4	3000   LARGE T&R	Yes	SNAGCU	Level-1-260C-UNLIM	-40 to 125	U
<a href="#">TMAG5230D5DYBKR</a>	Active	Production	DSBGA (YBK)   4	3000   LARGE T&R	Yes	SNAGCU	Level-1-260C-UNLIM	-40 to 125	D
<a href="#">TMAG5230F1DYBKR</a>	Active	Production	DSBGA (YBK)   4	3000   LARGE T&R	Yes	SNAGCU	Level-1-260C-UNLIM	-40 to 125	E
<a href="#">TMAG5230I5DYBKR</a>	Active	Production	DSBGA (YBK)   4	3000   LARGE T&R	Yes	SNAGCU	Level-1-260C-UNLIM	-40 to 125	S
<a href="#">TMAG5230J5DYBKR</a>	Active	Production	DSBGA (YBK)   4	3000   LARGE T&R	Yes	SNAGCU	Level-1-260C-UNLIM	-40 to 125	J
<a href="#">TMAG5230K5DYBKR</a>	Active	Production	DSBGA (YBK)   4	3000   LARGE T&R	Yes	SNAGCU	Level-1-260C-UNLIM	-40 to 125	K
<a href="#">TMAG5230L5DYBKR</a>	Active	Production	DSBGA (YBK)   4	3000   LARGE T&R	Yes	SNAGCU	Level-1-260C-UNLIM	-40 to 125	L

(1) **Status:** For more details on status, see our [product life cycle](#).

(2) **Material type:** When designated, preproduction parts are prototypes/experimental devices, and are not yet approved or released for full production. Testing and final process, including without limitation quality assurance, reliability performance testing, and/or process qualification, may not yet be complete, and this item is subject to further changes or possible discontinuation. If available for ordering, purchases will be subject to an additional waiver at checkout, and are intended for early internal evaluation purposes only. These items are sold without warranties of any kind.

(3) **RoHS values:** Yes, No, RoHS Exempt. See the [TI RoHS Statement](#) for additional information and value definition.

(4) **Lead finish/Ball material:** Parts may have multiple material finish options. Finish options are separated by a vertical ruled line. Lead finish/Ball material values may wrap to two lines if the finish value exceeds the maximum column width.

(5) **MSL rating/Peak reflow:** The moisture sensitivity level ratings and peak solder (reflow) temperatures. In the event that a part has multiple moisture sensitivity ratings, only the lowest level per JEDEC standards is shown. Refer to the shipping label for the actual reflow temperature that will be used to mount the part to the printed circuit board.

(6) **Part marking:** There may be an additional marking, which relates to the logo, the lot trace code information, or the environmental category of the part.

Multiple part markings will be inside parentheses. Only one part marking contained in parentheses and separated by a "-" will appear on a part. If a line is indented then it is a continuation of the previous line and the two combined represent the entire part marking for that device.

**Important Information and Disclaimer:** The information provided on this page represents TI's knowledge and belief as of the date that it is provided. TI bases its knowledge and belief on information provided by third parties, and makes no representation or warranty as to the accuracy of such information. Efforts are underway to better integrate information from third parties. TI has taken and continues to take reasonable steps to provide representative and accurate information but may not have conducted destructive testing or chemical analysis on incoming materials and chemicals. TI and TI suppliers consider certain information to be proprietary, and thus CAS numbers and other limited information may not be available for release.

In no event shall TI's liability arising out of such information exceed the total purchase price of the TI part(s) at issue in this document sold by TI to Customer on an annual basis.

## TAPE AND REEL INFORMATION



### QUADRANT ASSIGNMENTS FOR PIN 1 ORIENTATION IN TAPE



\*All dimensions are nominal

Device	Package Type	Package Drawing	Pins	SPQ	Reel Diameter (mm)	Reel Width W1 (mm)	A0 (mm)	B0 (mm)	K0 (mm)	P1 (mm)	W (mm)	Pin1 Quadrant
TMAG5230D1DYBKR	DSBGA	YBK	4	3000	180.0	8.4	0.84	0.84	0.5	4.0	8.0	Q1
TMAG5230D5DYBHR	DSBGA	YBH	4	3000	180.0	8.4	0.84	0.84	0.5	4.0	8.0	Q1
TMAG5230D5DYBKR	DSBGA	YBK	4	3000	180.0	8.4	0.84	0.84	0.5	4.0	8.0	Q1
TMAG5230F1DYBKR	DSBGA	YBK	4	3000	180.0	8.4	0.84	0.84	0.5	4.0	8.0	Q1
TMAG5230I5DYBKR	DSBGA	YBK	4	3000	180.0	8.4	0.84	0.84	0.5	4.0	8.0	Q1
TMAG5230J5DYBKR	DSBGA	YBK	4	3000	180.0	8.4	0.84	0.84	0.5	4.0	8.0	Q1
TMAG5230K5DYBKR	DSBGA	YBK	4	3000	180.0	8.4	0.84	0.84	0.5	4.0	8.0	Q1
TMAG5230L5DYBKR	DSBGA	YBK	4	3000	180.0	8.4	0.84	0.84	0.5	4.0	8.0	Q1

**TAPE AND REEL BOX DIMENSIONS**


\*All dimensions are nominal

Device	Package Type	Package Drawing	Pins	SPQ	Length (mm)	Width (mm)	Height (mm)
TMAG5230D1DYBKR	DSBGA	YBK	4	3000	182.0	182.0	20.0
TMAG5230D5DYBHR	DSBGA	YBH	4	3000	182.0	182.0	20.0
TMAG5230D5DYBKR	DSBGA	YBK	4	3000	182.0	182.0	20.0
TMAG5230F1DYBKR	DSBGA	YBK	4	3000	182.0	182.0	20.0
TMAG5230I5DYBKR	DSBGA	YBK	4	3000	182.0	182.0	20.0
TMAG5230J5DYBKR	DSBGA	YBK	4	3000	182.0	182.0	20.0
TMAG5230K5DYBKR	DSBGA	YBK	4	3000	182.0	182.0	20.0
TMAG5230L5DYBKR	DSBGA	YBK	4	3000	182.0	182.0	20.0

## 重要なお知らせと免責事項

TI は、技術データと信頼性データ (データシートを含みます)、設計リソース (リファレンス デザインを含みます)、アプリケーションや設計に関する各種アドバイス、Web ツール、安全性情報、その他のリソースを、欠陥が存在する可能性のある「現状のまま」提供しており、商品性および特定目的に対する適合性の黙示保証、第三者の知的財産権の非侵害保証を含むいかなる保証も、明示的または黙示的にかかわらず拒否します。

これらのリソースは、TI 製品を使用する設計の経験を積んだ開発者への提供を意図したものです。(1) お客様のアプリケーションに適した TI 製品の選定、(2) お客様のアプリケーションの設計、検証、試験、(3) お客様のアプリケーションに該当する各種規格や、その他のあらゆる安全性、セキュリティ、規制、または他の要件への確実な適合に関する責任を、お客様のみが単独で負うものとし、

上記の各種リソースは、予告なく変更される可能性があります。これらのリソースは、リソースで説明されている TI 製品を使用するアプリケーションの開発の目的でのみ、TI はその使用をお客様に許諾します。これらのリソースに関して、他の目的で複製することや掲載することは禁止されています。TI や第三者の知的財産権のライセンスが付与されている訳ではありません。お客様は、これらのリソースを自身で使用した結果発生するあらゆる申し立て、損害、費用、損失、責任について、TI およびその代理人を完全に補償するものとし、TI は一切の責任を拒否します。

TI の製品は、[TI の販売条件](#)、[TI の総合的な品質ガイドライン](#)、[ti.com](#) または TI 製品などに関連して提供される他の適用条件に従い提供されます。TI がこれらのリソースを提供することは、適用される TI の保証または他の保証の放棄の拡大や変更を意味するものではありません。TI がカスタム、またはカスタマー仕様として明示的に指定していない限り、TI の製品は標準的なカタログに掲載される汎用機器です。

お客様がいかなる追加条項または代替条項を提案する場合も、TI はそれらに異議を唱え、拒否します。

Copyright © 2026, Texas Instruments Incorporated

最終更新日 : 2025 年 10 月